

I-5 本州四国連絡橋の疲労設計

本州四国連絡橋公団 正員 田島二郎

○正員 奥川淳志

正員 田中美宇

1 まえがき

従来の鉄道橋は41キロ鋼および50キロ級鋼により作られ、最近には、260キロ級鋼が設計標準に取り入れられた。本四連絡橋では60キロ級鋼までの使用はもとより、70、80キロ級鋼までの調質高張力鋼の相当量の使用が考えられている。これらに対する疲労許容応力度は当然のことながら鋼鉄道橋設計標準には規定されておらず、新たに定める必要がある。

また本四連絡橋は鉄道・道路が併用するため、道路幅員の関係で従来の複線鉄道橋に比べて主構幅が大きくなっている。また耐風性の考慮からも剛な対傾構が設けられ、橋のねじり剛性が増大している。このため注目する主構応力に及ぼす影響は従来の単線載荷の場合についてのみ疲労照査を行っており、ものに比し、他の側の軌道に載荷した場合の影響も考慮する必要が生じてきた。

以上のような背景をもとに、60キロ級鋼から80キロ級鋼までの疲労許容応力度と列車荷重の累積効果の影響を検討してきてるので、ここにその概要を述べるものである。

2 疲労許容応力度

疲労許容応力度の決定にあたり、昭和47年度より内外の疲労試験結果を検討し、また必要な疲労試験を実施してきた。しかし橋梁を構成する構造細部、継手形式は多種多様であるので、ここではその基本的なものをとりあげて本四連絡橋の疲労許容応力度の基本的な考え方を述べることにする。

2.1 継手の等級分類

各種継手の疲労強度は本質的にバラツキの大きいものであり、一義的に疲労許容応力度を定めることはできないが、鋼鉄道橋設計標準に準じて各々の継手を分類した。即ち表-1に示すようにそれぞれの疲労強度に応じて直応力を受ける場合を4グループ(A→D)に、せん断応力を受ける場合を3グループ(S₁→S₃)に等級分類した。

2.2 許容応力度の一般式

各等級分類に対し、一組の式 $\sigma_{eq}/(1-\alpha_f)$ によって許容応力度を規定する。ここで σ_{eq} は基本疲労許容応力度、 α_f は応力比、 $\frac{\sigma_{f1min}}{\sigma_{f1max}}$ で片振りの場合には正、両振りの場合には負である。また α_f は平均応力 $- (\text{最大応力} + \text{最小応力})/2$ の影響を示すパラメータである。

表-1 継手の等級分類

| 応力の種類 | 等級分類 | 継手の種類 |
|-------|----------------|--|
| 引張 | A | 1. 母材(側面仕上げ) 2. 高力ボルト摩擦接合の母材 3. グループ溶接の母材と溶着部(仕上げ) 4. 縦ビードのある母材 5. 6. 切抜きガセット |
| | B | 8. スチフター(仕上げ)のある母材 9. ガセットを突合せ溶接(仕上げ)で取付けた母材 |
| | C | 10. スチフター(仕上なし)のある母材 11. ダイヤフラムを取付けた母材 12. カバーブレート端 |
| | D | 13. 応力に直角なK溶接 14. ガセットをすみ肉溶接(仕上げ)で取付けた母材 |
| | S ₁ | 17. 母材 18. 連續すみ肉 |
| | S ₂ | 側面すみ肉 |
| せん断 | S ₃ | 前面すみ肉 |

2.3 平均応力の影響

平均応力の影響は一般的に応力集中の小さい程、応力変動のうち圧縮応力成分が大きくなる程大きいといわれている。橋梁上部構造の種々の継手のうち、いわゆる縦ビード溶接継手が形状による応力集中が比較的小さい上に残留応力が外力の作用方向に重畠するため、最も大きく平均応力の影響を受けるものと思われる。図-1に示される●印は平均応力を変えながら行なった縦ビード溶接継手の疲労試験結果^{3) 4)}を示すが、これらの点を結ぶ直線は図上で約 $-1/6$ の勾配を有しており、かつ各方面で行なわれた試験結果全体の5%破壊確率の疲労強度と圧縮片振疲労実験において引張残留応力の影響でき裂の生じたデータとを結ぶ直線の勾配にも一致している。この勾配を2.2によるパラメータ α に書き換えると引張側 $\alpha \approx 0.7$ 、圧縮側 $\alpha \approx 1.4$ となる。この結果は各種継手のうち最も平均応力の影響の大きいと考えられる縦ビード試験片によるものであるが、他の溶接継手についても適用するものとする。

一方最近リフ十字溶接継手のように溶接部の応力集中が大きい継手形式や溶接組立工ビームの疲労試験結果によると、主として平均応力が引張側である場合に平均応力の影響は小さくなり、疲労強度を振幅で表示したときに試験結果に有意差がないという報告がある。図-2は当公団が行なったリフ十字溶接継手の実験結果を示すものであるが、やはり平均応力が正の場合にはその影響は小さいことがわかる。

以上の結果を基に算し
本四連絡橋の疲労許容応

力度においては $\sigma_a = 0.3$

(引張)では平均応力の影響はないとして $\alpha = 1.0$ とし、 $-1.0 \leq R \leq 0.3$

(引張)および $-1.0 \leq R \leq 1.0$ (圧縮)ではそれ

ぞれ $\alpha = 0.7$ および $\alpha = 1.4$ とすることにする。

2.4 基本疲労許容応力度 σ_{ao}

一般に高張力鋼の疲労強度は溶接継手のような切欠作用のある場合には軟鋼などに比べて、引張強度の増加の割には高くならないことは良く知られている。従って鋼種毎に許容応力度を変化さ

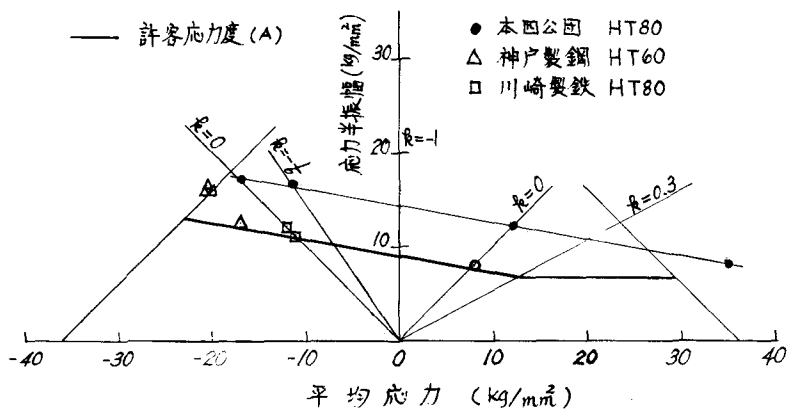


図-1 縦ビード溶接継手 (200万回)

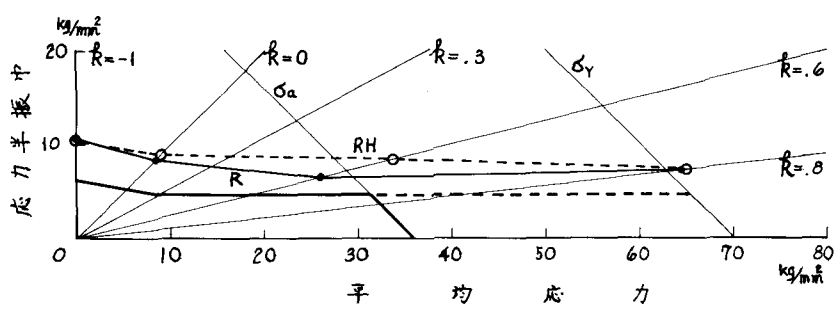


図-2 リフ十字溶接継手 (200万回)

せることはある意味がなく、また使用する面においても繁雑であるので、60キロ級鋼から80キロ級鋼まで鋼種によらずに一つの σ_{ao} を規定することとした。次に2.3の代表的な溶接継手の基本疲労許容応力度について述べる。

1) 縦ビード溶接継手

図-3には80キロ級鋼について行なわれた引張片振疲労試験のS-N線図を示す。また図-1は40~80キロ級鋼における種々の実験結果より、200万回、5%破壊確率の値を示している。図-1よりわかる様に80キロ級鋼の200万回、5%破壊確率強度は約 15.6 kg/mm^2 とかなり低い値が得られたが、図-3では 16 kg/mm^2 以下で破断したデータは見当らない。これは5%破壊確率を求めるに際しS-N線を直線近似しているためである。縦ビード溶接継手の基本許容応力度として鉄道橋設計標準に習って $\sigma_{ao} = 1530 \text{ kg/cm}^2$ ($\kappa=0$)を基準としてAグループとしても良いと思われる。ただし、図-1にも示すように60キロ級鋼以上では残留応力が比較的高いため圧縮応力下でも疲労き裂が発生することがあるので注意を要する。

2) ガセットを突き合せ溶接継手

ガセットを突き合せ溶接で取付けた母材についての疲労試験は土研と本四公団が行なっており、図-4には本四公団の実験結果を示した。図-4より200万回疲労強度は $\kappa=0.6$ で 14 kg/mm^2 , $\kappa=0$ で 11 kg/mm^2 , $\kappa=-1$ で 16 kg/mm^2 程度であることがわかれり、 $\kappa=0$ のとき多少低目の結果となつてゐる。しかし土研の結果では、 $\kappa=0$ のとき 25 kg/mm^2 とかなり高い強度を得ているので、とりあえず $\sigma_{ao} = 1275 \text{ kg/cm}^2$ ($\kappa=0$)としてBグループとしている。

3) リブ十字溶接継手

リブ十字溶接継手の試験は他の継手に比べ多く行なわれており、これらの結果の200万回5%破壊確率疲労強度をまとめると図-7のようになる。これららわれかるようにビード止端を仕上げない場合疲労強度は高強度鋼になると程低下しており、80キロ級鋼の強度は約 9.8 kg/mm^2 であり、また図-5に示す様にデータの中には 9 kg/mm^2 で破断するものも含まれてゐる。これらの結果から、リブ十字溶接継手の基本許容応力度としては $\sigma_{ao} = 805 \text{ kg/cm}^2$ 程度にせざるを得ない。(図-7)

一方、最近になってリブ十字継手の疲労強度を向上させよう試みがいくつか行なわれてゐる。これららは溶接ビード止端に化粧盛を施すかあるいはビードの形状を持てずれいになる溶接棒を使用したり、ビード止端を削り、たり、プラス処理をするなどの方法である。これらの方法による試験結果をまとめると図-6、図-8のようになる。図-5、図-7と比べると明らかに疲労

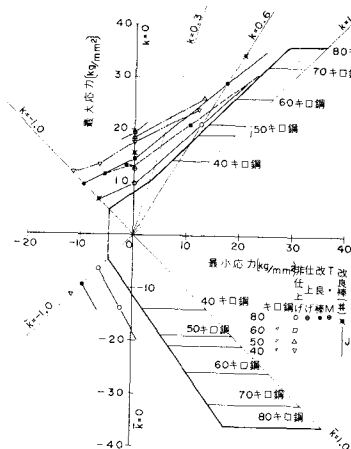


図-7 リブ十字溶接継手の200万回疲労強度
(5%破壊確率)

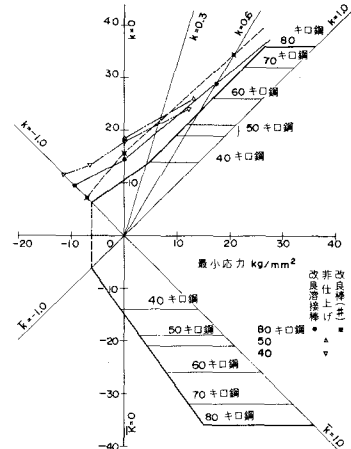


図-8 リブ十字溶接継手の200万回疲労強度、改
良溶接棒使用鋼質 (5%破壊確率)

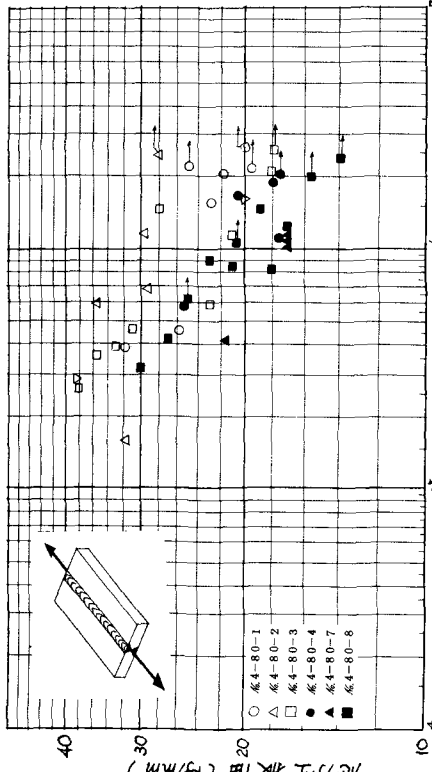


図-3 応力集中係数 (K) と繰り返し回数 (N_f) の関係

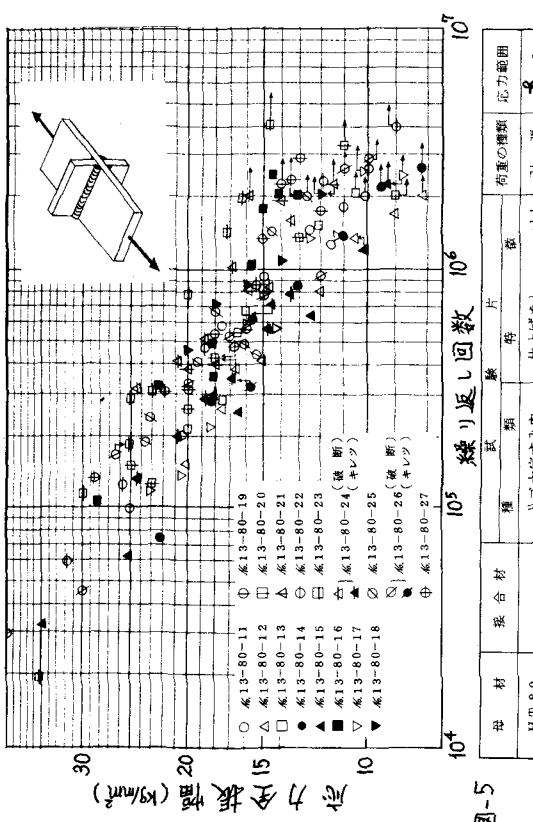


図-5

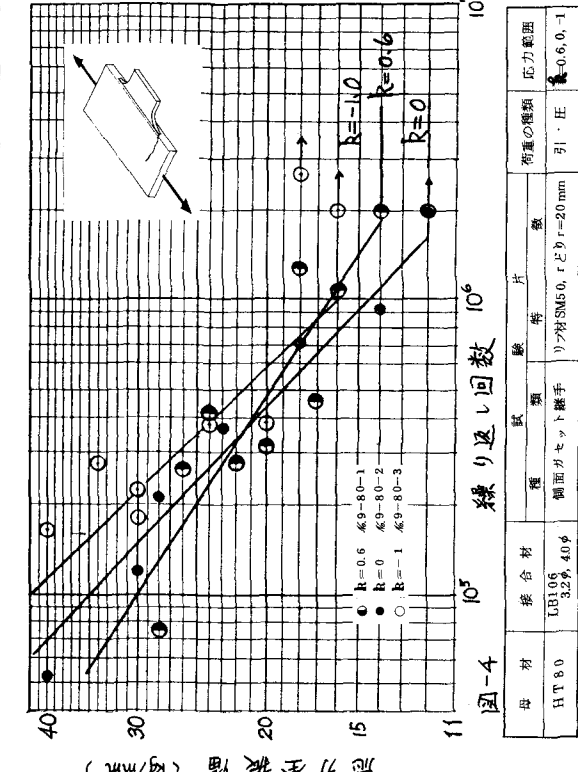


図-4

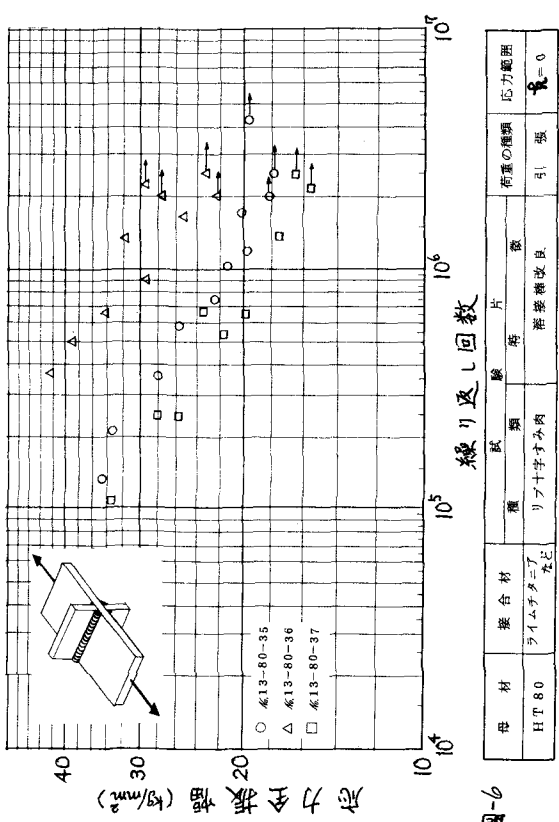


図-6

強度は向上しており、ビード止端の仕上げを入念に行なうこと、ビード形状が特にきれいになり疲労強度が明らかに向ふるとと思われる溶接施工がなされる等の条件をつけなければ、基本疲労許容応力度を上げることができると考ふる。従つてこの種の継手について以上は条件付で基本疲労許容応力度として $\sigma_{ao} = 1050 \text{ kg/cm}^2$ とするものとし C グループと考ふ、無条件のものは $\sigma_{ao} = 805 \text{ kg/cm}^2$ として D グループと分けることにする。

表 2 母材および溶接継手の疲労許容応力度

(単位: kg/cm^2)

| 継手分類 | 引 縛 | | 圧 縮 | 備 考 |
|----------------|-------------------------|-----------------------|-------------------------|--|
| | $-1.0 \leq k < 0.3$ | $0.3 \leq k \leq 1.0$ | | |
| A | $\frac{1530}{1 - 0.7k}$ | $\frac{1355}{1 - k}$ | $\frac{2160}{1 - 1.4k}$ | 疲労許容応力度は、それぞれの応力の種類について、各継手毎に定められた基本許容応力度以下とする。 ただし $k = \frac{1 + 1 \text{ min}}{1 + 1 \text{ max}}$ |
| B | $\frac{1275}{1 - 0.7k}$ | $\frac{1130}{1 - k}$ | $\frac{1800}{1 - 1.4k}$ | |
| C | $\frac{1050}{1 - 0.7k}$ | $\frac{930}{1 - k}$ | $\frac{1480}{1 - 1.4k}$ | |
| D | $\frac{800}{1 - 0.7k}$ | $\frac{710}{1 - k}$ | $\frac{1130}{1 - 1.4k}$ | |
| 継手分類 | せん 断 | | | または $k = \frac{1 + 1 \text{ min}}{1 + 1 \text{ max}}$ 片振れの場合: 正 両振れの場合: 負 |
| | $-1.0 \leq k < 0.3$ | $0.3 \leq k \leq 1.0$ | | |
| S ₁ | $\frac{920}{1 - 0.7k}$ | $\frac{815}{1 - k}$ | | |
| S ₂ | $\frac{820}{1 - 0.7k}$ | $\frac{725}{1 - k}$ | | |
| S ₃ | $\frac{650}{1 - 0.7k}$ | $\frac{580}{1 - k}$ | | |

表-1にあげた各種の継手形式について、それを入手できる限りの試験結果にとどまらず上述の方法で個々に基本許容応力度を決めていく。その結果は表-2のようにまとめられる。

3 列車荷重による累積効果

本四連絡橋においては、A ルート(本四淡路線)で新幹線複線、D ルート(本四備讃線)で新幹線、在来線の複々線となり、設計寿命 100 年間には総列車本数がおよそ A ルートで 550 万本、D ルートで 950 万本となる。このため、2 に示した 200 万回における疲労許容応力度に対する荷重の累積効果を修正直線累積被害法則にもとづいて考慮するとともに、複線載荷の影響を次のような考え方で検討し、許容応力度の低減率を求めた。⁸⁾

3・1 S-N 線図

修正直線累積被害法則に用いる S-N 線は次式を用いるものとする。⁹⁾

$$\log \frac{\sigma}{\sigma_a} = -k_i \log \frac{N}{N} \quad (1)$$

ここで σ , N ; 応力振幅および繰り返し回数

σ_a ; 200 万回疲労許容応力度(応力振幅)

$$\bar{N} = 2 \times 10^6, \quad k_1 = 0.2 (N \leq \bar{N}), \quad k = 0.1 (N \geq \bar{N})$$

3・2 疲労荷重累積効果

図-9 の S-N 線図に示すように $\sigma_i (= P_i/A \geq \sigma_a)$ による部材力 P_i が n_i 回、また $\sigma_j (= P_j/A < \sigma_a)$ による部材力 P_j が n_j 回繰り返されるとすると、修正直線累積被害法則より

$$\sum_i \frac{n_i}{N_i} + \sum_j \frac{n_j}{N_j} \leq 1 \quad (2)$$

となるように部材断面積を決定する必要がある。

式(1)の σ を P と A に書き換えて式(2)に代入すると

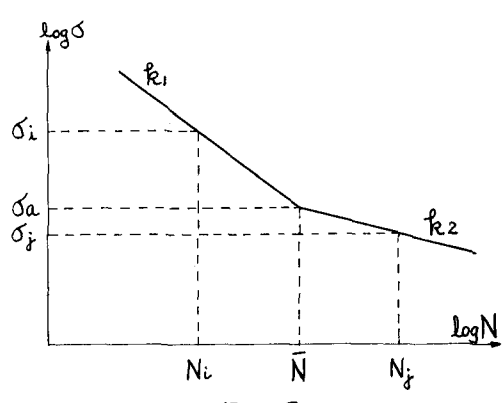


図-9

$$\frac{1}{(\sigma_a A)^{\frac{1}{k_1}}} \sum_i \frac{n_i}{N} P_i^{\frac{1}{k_1}} + \frac{1}{(\sigma_a A)^{\frac{1}{k_2}}} \sum_j \frac{n_j}{N} P_j^{\frac{1}{k_2}} \leq 1 \quad (3)$$

を得る。ここで A は所要断面積である。

今設計荷重によって着目する部材に生ずる部材力を P_0 とすると、 P_i, P_j は、 $P_i = f_i P_0, P_j = f_j P_0$ のように表示できるから、式(3)を A について解くと

$$A = \beta \frac{P_0}{\sigma_a}, \quad \beta = \left(\frac{C_1 + \sqrt{C_1^2 + 4C_2^2}}{2} \right)^2, \quad C_1 = \sum_i \frac{n_i}{N} f_i^5, \quad C_2 = \sum_j \frac{n_j}{N} f_j^{10} \quad (4)$$

となる。式(4)を計算する場合、 f_i が C_1 に属するか C_2 に属するかは断面積 A が未定なので β を仮定して断面積を求め、 C_1, C_2 が収束するまで繰り返し計算をする必要がある。

β は設計荷重により生ずる部材力 P_0 を 200 万回許容疲労応力度 σ_a で割って求まる断面積の割増率を意味しているので、許容応力の低減率は $1/\beta$ となる。

3.3 複線載荷の影響

橋梁上で列車が同時載荷されると単線載荷よりも大きな応力変動を生じるので、この複線載荷回数を確率的に求め単線載荷と共に荷重の累積効果を考へる。複線載荷の影響を考慮する部材は、吊橋の補剛桁、トラス主構、主構トラスなどがあるが、ここでは吊橋補剛桁における場合について述べる。なお、この場合着目部材の応力は列車軌道位置によって違ってくるので、吊橋の補剛桁については立体解析(ねじり解析)を行なっている。

着目部材の応力変動を求めるためには、影響線を用いて1列車が通過した場合の応力変化線を求める必要がある。今図-10のような影響線を用いて図-11のように応力変化線が求められたとするならば、簡略化して破線のような矩形波の応力変化線に書き換える。さらに横軸が距離であるのを列車速度 V で割って図-12に示すように時間軸に変換する。

図-12と同じ応力変動図を上り線と下り線について求めると図-13を得る。このとき上下線では列車進行方向が逆なので、時間と横軸にとって応力変動図は逆に生じる。

1) 複線載荷

複線載荷の確率計算は

図-13において次の i), ii) の場合だけを考へ、 \bar{P}_1^u と \bar{P}_2^u あるいは \bar{P}_1^d と \bar{P}_2^d で重なるような場合は応

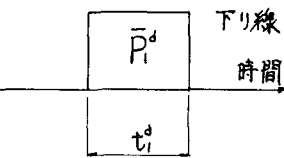
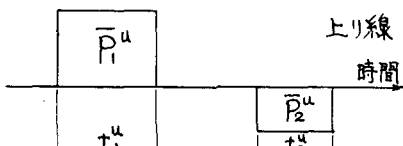


図-13

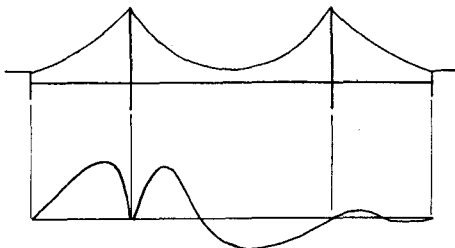


図-10 補剛トラス中間支点上弦材影響線

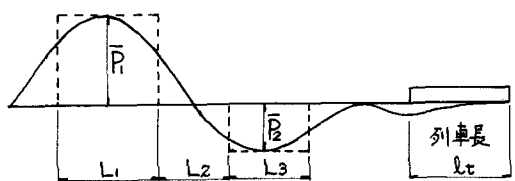


図-11 1列車による応力変化線

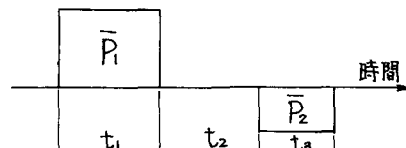


図-12

力符号が逆になり応力変動範囲が小さくなると考えられるので、複線載荷としては取り扱わず単線載荷として考慮した。

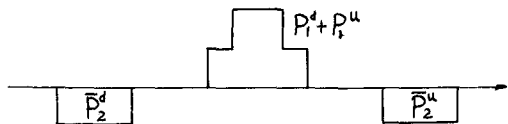


図-14

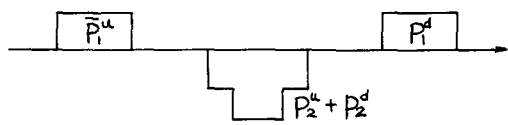


図-15

- i) \bar{P}_1^u と \bar{P}_1^d の部分で上下線が重なる場合 (図-14)
設計寿命 (100年) 中の繰り返し回数は確率計算より

$$N_i = (t_1^u + t_1^d) \times n_t^u \times n_t^d \times 365 \times 100 / T$$

ここで、 n_t^u , n_t^d : 上下線の1日当たり列車本数

T : 1日当たり列車運転時間 (16時間と)

1回の複線載荷ごとに range pair count method (以下ル・P・C法と呼ぶ) を適用するヒ、それぞれの荷重変動と繰り返し数が次のようになる。 $(\bar{P}_2 > \bar{P}_2^u, \bar{P}_1 > \bar{P}_1^u)$ の場合を考える)

$$A: P_i^A = \bar{P}_1^d + \bar{P}_1^u + \bar{P}_2^d, \quad N_i^A = N_i \quad B: P_i^B = \bar{P}_2^u, \quad N_i^B = N_i$$

- ii) \bar{P}_2^u と \bar{P}_2^d の部分で上下線が重なる場合 (図-15)

$$N_{ii} = (t_2^u + t_2^d) \times n_t^u \times n_t^d \times 365 \times 100 / T$$

$$A: P_{ii} = \bar{P}_2^u + \bar{P}_2^d + \bar{P}_1^d, \quad N_{ii}^A = N_{ii} \quad B: P_{ii}^B = \bar{P}_1^u, \quad N_{ii}^B = N_{ii}$$

2) 単線載荷

単線載荷の繰り返し数は、寿命期間中の全列車本数から複線載荷本数を引いた回数による。

$$\text{上り線: } P_s^u = \bar{P}_1^u + \bar{P}_2^u, \quad N_s^u = n_t^u \times 36500 - (N_i + N_{ii})$$

$$\text{下り線: } P_s^d = \bar{P}_1^d + \bar{P}_2^d, \quad N_s^d = n_t^d \times 36500 - (N_i + N_{ii})$$

ここで例示してるのは複線の場合であるが、複々線の場合も同様に計算すればよい。ただし、複々線の場合でも本四吊橋においては3線以上同時載荷はないので複線載荷まで考慮すればよい。しかしDルートトラス橋・主構トラスに対しては3線同時載荷も実際起きてるるので、考慮する必要があるが、しかしその回数は約100回程度であり、応力変動が3倍近くになっても無視できる回数と考えられる。

3・4 許容応力度の低減率

疲労検算を行なう場合の吊橋補剛材の設計荷重は1軌道当たり $2.7 t/m$ であり、その載荷長は在来線で $370 m$ 、新幹線で $400 m$ である。また橋梁の設計寿命は100年と考え、1日片線当たりの列車本数は昭和65年の推定値によると¹⁰⁾次のとおりである。

Aルート； 新幹線旅客 75本/日/線 (12両編成、乗車効率80%)

Dルート； 新幹線旅客 14本/日/線 (12両編成、乗車効率80%)

在来線旅客 29本/日/線 (8両編成、乗車効率90%)

在来線貨物 86本/日/線

一方、実際に運行される列車荷重には乗車率、積載量によってその荷重強度はバラツキを生じている。荷重タイプを決定すると同時に、バラツキのある荷重を単に算術平均するのではなく疲労の累積効果が変わらないように等価換算荷重を使用すべきである。今、設計荷重を P_0 としバラツキを持つ荷重 $P(t) = f(P_0)$ の頻度分布を確率

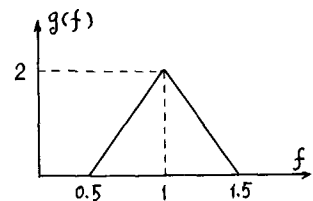


図-4

密度関数 $g(t)$ を用いて図-16のようく与えられたとしたときの等価換算荷重 $f_0 P_0$ を求めると、 f_0 は 1.01 ~ 1.09 の間に分布しているので、その中间値として $f_0 = 1.05$ を採用し、図-11 の \bar{P}_1 , \bar{P}_2 を求めるときの荷重としては設計荷重の 5% 増じとした。又在来線旅客の荷重としては貨物の $\frac{1}{2}$ とするものとする。

以上の条件のもとに断面積割増率を A ルート吊橋、および D ルート吊橋を例にヒリ計算すると A ルート吊橋では $B = 1.23$, D ルート吊橋では $B = 1.30$ となる。これらの結果より吊橋補剛トラスの設計においては表-3 の低減率を疲労許容応力度に乗ずるものとする。

4. あとがき

本四連絡橋はこれまでに経験したことのない種々の条件下で使用されることが予想され、疲労設計法においても、これまでの鉄道橋と趣を異にするところもある。特に 60 キロ以上鋼の調質高張力鋼の疲労許容応力度を定めるにあたって充分な資料を収集していくとはいえるが、さらに種々のデータを必要としている。当公園においては今度富士市に完成した H400 で大型疲労試験機を用いて 80 キロ級鋼 75 mm 厚の溶接試験体あるいは実体構造模型による疲労試験を実施しており、以上述べてきた疲労許容応力度および低減率の確認をする予定である。

本報告は土木学会、本州四国連絡橋鋼上部構造研究小委員会、疲労分科会の審議成果をまとめたものである。分科会各委員に感謝の意を表します。

注) * 図3~6 の No. 0-00-0 はデータの拡張を示すものであり、参考文献 9) を参照されたい。

* 本報告の一部は昭和 49 年度土木学会関東支部学術講演会に報告されてい。

参考文献

- 1) 「鋼鉄道橋設計標準・同解説」 土木学会 昭和 49 年
- 2) 本州四連絡橋鋼上部構造研究小委員会解析分科会報告書「別冊 4. アーチの解析と吊橋解析の追補」 土木学会 昭和 50 年 3 月
- 3) 同小委員会疲労分科会報告書「別冊 3. 高張力鋼溶接継手の疲労試験」 土木学会 昭和 48 年 3 月
- 4) 神戸製鋼所社内報「すみ肉溶接継手の疲れ強さ改善法に関する研究(その 3)」(1973)
- 5) 国広他「鋼床版部材引張疲労試験 中間報告」 土木技術資料 13-12 (昭和 46 年 12 月)
- 6) 「Effect of Weldments on the fatigue strength of Steel Beam」 Fritz Engineering Laboratory Report, NO 334, (1969. 9)
- 7) 「80 キロ鋼資料」 工研研究所 昭和 39 年 9 月
- 8) 伊藤文人「実働荷重による鉄道橋の疲労被害推進法」 鉄道技術研究報告 NO. 676 1969 年 4 月
- 9) 本州四連絡橋鋼上部構造研究小委員会、疲労分科会報告書「別冊 2. 本州四連絡橋の疲労設計」 土木学会 昭和 49 年 3 月
- 10) 本州四連絡橋調査報告書(鉄道橋) 昭和 48 年 4 月

表-3 低減率

| ルート | 低減率 |
|-------|------|
| A ルート | 0.80 |
| D ルート | 0.75 |